

ژئوشیمی گلسنگ‌ها و ماسه‌سنگ‌های میوسن پسین - پلیستو سن منطقه ساحلی چابهار: با نگرشی بر سنگ منشأ و جایگاه زمین‌ساختی

محمد آفرین^(۱)، محمد پومنی^۲، اسداله محبوبی^۳ و محمدنبی گرگیج^۴

۱. کارشناس ارشد رسوب‌شناسی، دانشکده علوم، دانشگاه آزاد اسلامی واحد زاهدان
 ۲. دانشیار گروه زمین‌شناسی، دانشکده علوم، دانشگاه سیستان و بلوچستان
 ۳. استاد گروه زمین‌شناسی، دانشکده علوم، دانشگاه فردوسی مشهد
 ۴. استادیار گروه زمین‌شناسی، دانشکده علوم، دانشگاه سیستان و بلوچستان

تاریخ دریافت: ۹۰/۱۰/۱۳

تاریخ پذیر شد: ۲۴/۱۱/۹۱

حکیمہ

منطقه ساحلی چابهار در پهنه ساختاری رسوبی مکران واقع شده است. پیسنگ ناحیه مکران متتشکل از پوسته های اقیانوسی و واحد های فلیش بوده که در منطقه چابهار بوسیله توالی های ضخیمی از مارن، ماسه سنگ و کنگلومرا پوشیده شده است. تعداد ۵۰ نمونه از برش های تیس، رمین، لیپار، گورانکش و خورگریندر برداشت و مورد آزمایش کلسیمتری و آنالیزهای ژئوشیمی ICP، XRF و XRD قرار گرفت. میزان کربنات کلسیم نمونه های مورد مطالعه از واحد مارنی بین ۹^۱ الی ۲۱ درصد متغیر و بهتر است به آنها گلسنگ اطلاق نمود. مقادیر P_2O_5 , Na_2O , Fe_2O_3 و SiO_2 سنگ های مورد مطالعه نسبت به پوسته قاره ای بالایی کاهش یافته است. ضریب متوسط اندیس هوازدگی شیمیایی (CWI = 8/88) شرایط آب و هوای خشک تا نیمه خشک را در منطقه منشأ نشان می دهد. بر اساس داده های ژئوشیمی، گلسنگ ها و ماسه سنگ های منطقه ساحلی چابهار از سنگ های رسوبی غنی از کوارتز منشأ گرفته اند. مشخصات ژئوشیمی سنگ های مورد مطالعه و استفاده از دیاگرام های تفکیک کننده محیط های زمین ساختی بر اساس عناصر اصلی و فرعی میین رسوب گذاری این سنگ ها در بخش های حاشیه قاره ای فعال (ACM) است. این نتیجه منطقی به نظر می رسد زیرا زون مکان یک زون فورانشی، فعال حاشیه قاره است.

واژه‌های کلیدی: چاپهار، ماسه‌سنگ، مارن، مکران‌ساحلی، زئو شیمی، گلسنگ

مقدمة

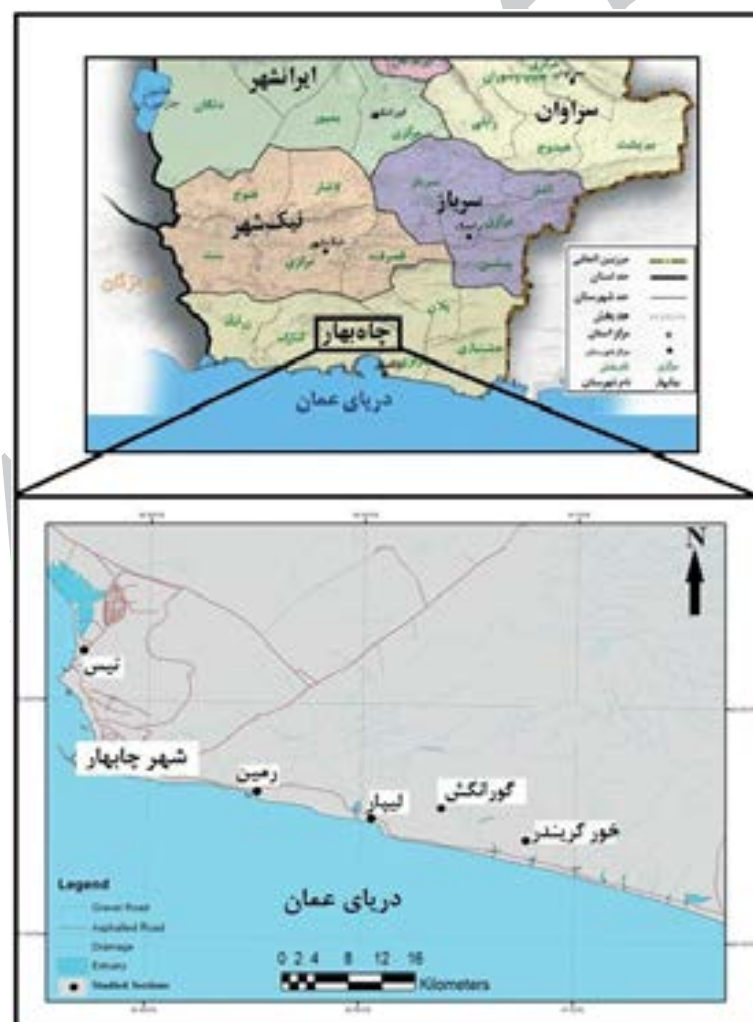
اخیراً ترکیب رسوبات سیلیسی آواری نظیر ماسه سنگ‌ها و گلسنگ‌ها و رابطه میان موقعیت زمین‌ساختی و پرخاستگاه توسط پژوهشگران زیادی مورد مطالعه قرار گرفته است (Armstrong- Altrin and Verma, 2005; Osae et al., 2006; Jafarzadeh and Hosseini-Barzi, 2008; Al-Juboury et al., 2009; ۱۳۹۰ آدابی، حسینی‌برزی و همکاران، ۱۳۸۷؛ حسینی‌برزی و شادان، ۱۳۸۸؛ اعتمادسعید و حسینی‌برزی، ۱۳۸۸؛ حسینی‌برزی و سعیدی،

(آقاباتی، ۱۳۸۵). تاکنون هیچگونه مطالعه‌ای در مورد سنگ منشأ، جایگاه زمین‌ساختی و شرایط هوازدگی سنگ منشأ ماسه‌سنگ‌ها و گلسنگ‌های ناحیه چابهار انجام نشده و اکثر مطالعات در خصوص سنگ‌شناسی، تأثیر زمین‌ساخت بر رسوب‌گذاری و دیاژنز (حسینی بروزی، ۱۳۸۲) و چینه‌نگاری سکانسی (احراری روودی، ۱۳۸۵) بوده است. در این تحقیق سعی بر این است تا پراکندگی عناصر اصلی در ماسه‌سنگ‌ها و گلسنگ‌های منطقه ساحلی چابهار را با میانگین‌های استاندارد تعریف شده مقایسه نموده و شرایط هوازدگی ناحیه منشأ و جایگاه زمین‌شناسی این سنگ‌ها تفسیر گردد.

موقعیت جغرافیایی و زمین‌شناسی

منطقه مورد مطالعه در جنوب شرقی ایران، جنوب استان سیستان و بلوچستان و در منتهی‌الیه جنوب زون مکران ساحلی با مختصات جغرافیایی 60° درجه و 37° دقیقه تا 60° درجه و 50° دقیقه طول شرقی و 25° درجه و 22° دقیقه تا 25° درجه و 14° دقیقه عرض شمالی واقع شده که بخشی از محدوده شهرستان چابهار را در بر می‌گیرد (شکل ۱).

اولیه را تخریب کرده باشند (Cullers, 1994, 1995). اگر چه در ماسه‌سنگ‌ها اثرات دیاژنزی و شستشوی کانی‌های فرعی می‌تواند موجب اختلالاتی در تفسیر برخاستگاهی شود (McBride, 1985; Blatt, 1985) اما امروزه از ژئوشیمی ماسه‌سنگ‌ها به عنوان ابزاری قوی در بررسی‌های برخاستگاهی استفاده می‌شود (Zimmermann and Bahlburg, 2003; Cullers, 2000). از آن جایی که گلسنگ‌ها دانه‌ریزند و نفوذپذیری بسیار پایینی دارند می‌توانند ترکیب سنگ منشأ را در خود حفظ کرده و بدین جهت در بررسی‌های برخاستگاهی از اهمیت زیادی برخوردار هستند (Hessler and Lowe, 2006). بنابراین، مطالعات ژئوشیمیابی در رسوبات و سنگ‌های سیلیسی آواری می‌تواند جهت نامگذاری، تعیین جایگاه زمین‌ساختی، سنگ منشأ و شرایط هوازدگی شیمیابی مورد استفاده قرار گیرد (Nesbitt and Young, 1982; Bhatia, 1983, 1986; Roser and Korsch, 1986, 1988; Herron, 1988 Kroonenberg, 1994; Cox et al., 1995; Fedo et al., 1995; Cullers, 2000). گسترده‌ترین سنگ‌های رسوبی در منطقه مکران بیرونی و نوار ساحلی چابهار، سنگ‌های معروف به مارن هستند که دارای میان لایه‌هایی از سیلتستون و ماسه‌سنگ می‌باشند



شکل ۱. موقعیت جغرافیایی و محل برش‌های مورد مطالعه که با علامت دایره تپیر نشان داده شده است.

(Berberian and King, 1981)

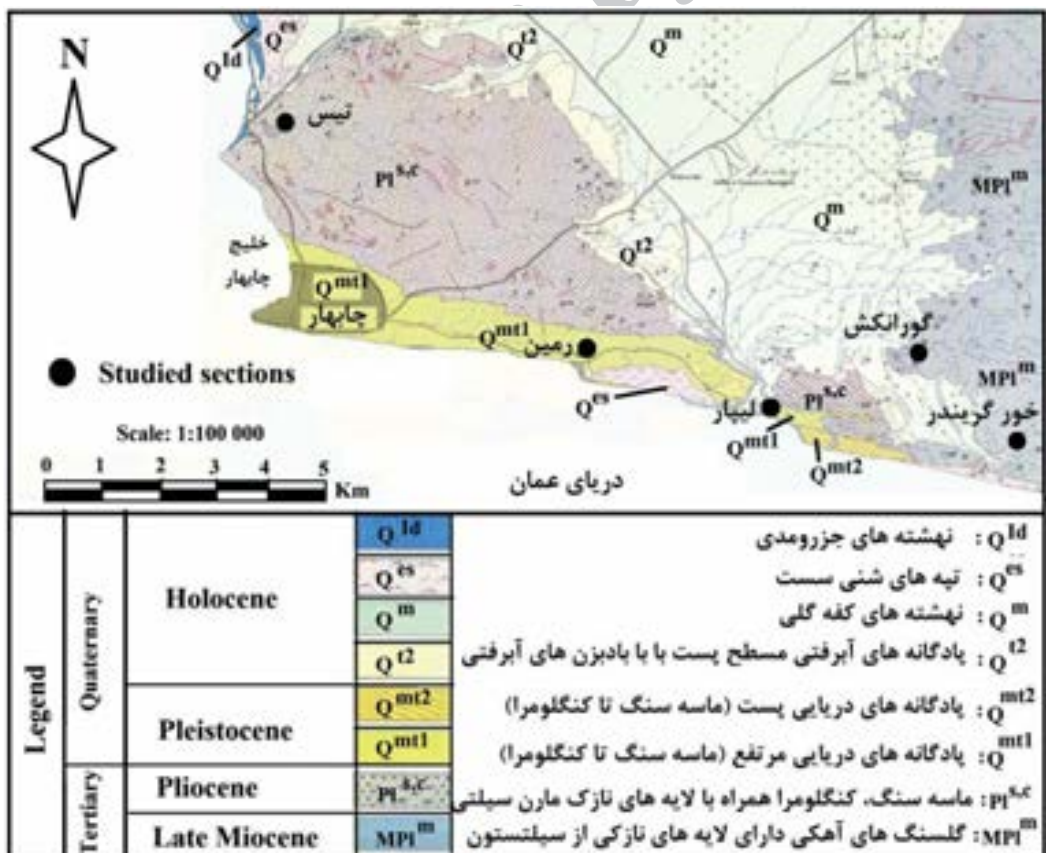
به دلیل تداوم فرورانش در ناحیه مکران، گسل‌ها هنوز فعال بوده و زمین به بالا آمدن ادامه می‌دهد که این عمل با چین خوردگی، کوتاه‌شدگی و با پسروی خط ساحلی همراه است. خطی بودن حاشیه شمالی پادگانه‌های دریایی و همچنین بالا آمدن سواحل مکران نتیجه عملکرد این گسل‌هاست و حرکت قائم این گسل‌ها سبب شده تا پادگانه‌های دریایی در سطوح تراز گوناگون شکل گیرند (آقاباتی، ۱۳۸۵). فرورانش در ناحیه مکران از زمان کرتاسه‌پسین آغاز شده ولی هنوز برخوردهای صفحه‌ها صورت نگرفته است و فرورانش ادامه دارد (Lepichon, 1968). میزان فرورانش کنونی مکران ۴ تا ۵ سانتی‌متر در سال دانسته شده است (Jacob and Quittmeyer, 1979).

روش مطالعه

برای انجام پژوهش حاضر پس از پیمایش‌های مقدماتی و صحراوی، پنج برش مناسب و قابل دسترس به نام‌های تیس، رمین، لیپار، گورانکش و خورگریندر انتخاب و ستون چینه‌شناسی آنها بوسیله نرم‌افزار CorelDRAW ترسیم گردید (شکل ۳). مجموعاً تعداد ۵۰ نمونه برداشت شده است. ابتدا به مظور سنجش میزان کربنات - کلسیم، ۱۲ عدد از نمونه‌ها به وسیله‌ی هاون آگاتی پودر گردید و میزان کربنات‌کلسیم آنها به روش کلسیمتر - برنارد

بر پایه تقسیم‌بندی زمین‌شناسی ایران توسط آقاباتی (۱۳۸۵)، منطقه مورد بررسی، بخشی از زون زمین‌ساختی مکران است. این ناحیه در نقشه زمین‌شناسی ۱:۱۰۰۰۰۰ «چابهار (جعفریان و صمدیان، ۱۳۷۵) واقع شده و جنوبی‌ترین بیرونزدگی‌های ساحلی را از پهنه‌ی ساختاری رسوبی مکران شامل می‌شود (شکل ۲). مرز غربی این زون توسط گسل میناب از زون برخوردی زاگرس جدا می‌گردد. از شمال نیز بوسیله کوههای بشاغرد و گودال جازموریان از زون‌های فلیشی شرق ایران (نهیندان - خاش) و سندج - سیرجان منفک گردیده و ادامه شرقی این زون در خاک پاکستان به گسل چمن می‌رسد. جنوب این زون نیز به دریای عمان محدود می‌شود (آقاباتی، ۱۳۸۵).

واحدهای چینه‌شناسی دوران سوم و کواترنر در منطقه مورد مطالعه رخنمون داشته که شامل مارن، سیلتستون، ماسه‌سنگ و کنگلومرای دانه‌ریز است (آقاباتی، ۱۳۸۵). پی‌سنگ ناحیه مکران نوعی پوسته اقیانوسی با میانگین ضخامت حدود ۷ کیلومتر بوده که با توالی ضخیمی از رسوب‌های فلیش‌گونه و گاه شیبه مولاس پوشیده شده که ممکن است تا حدود ۱۰ هزار متر ضخامت داشته باشد. در حوضه مکران رسوب‌گذاری از الیگوسن تا میوسن به طور ممتد صورت گرفته است. در این حوضه کم عمق حالت فرون‌نشینی^۱ برقرار بوده به نحوی که رسوبات بسیار ضخیمی از میوسن زیرین شامل مارن ژیپسی و گلسنگ بر جای مانده است

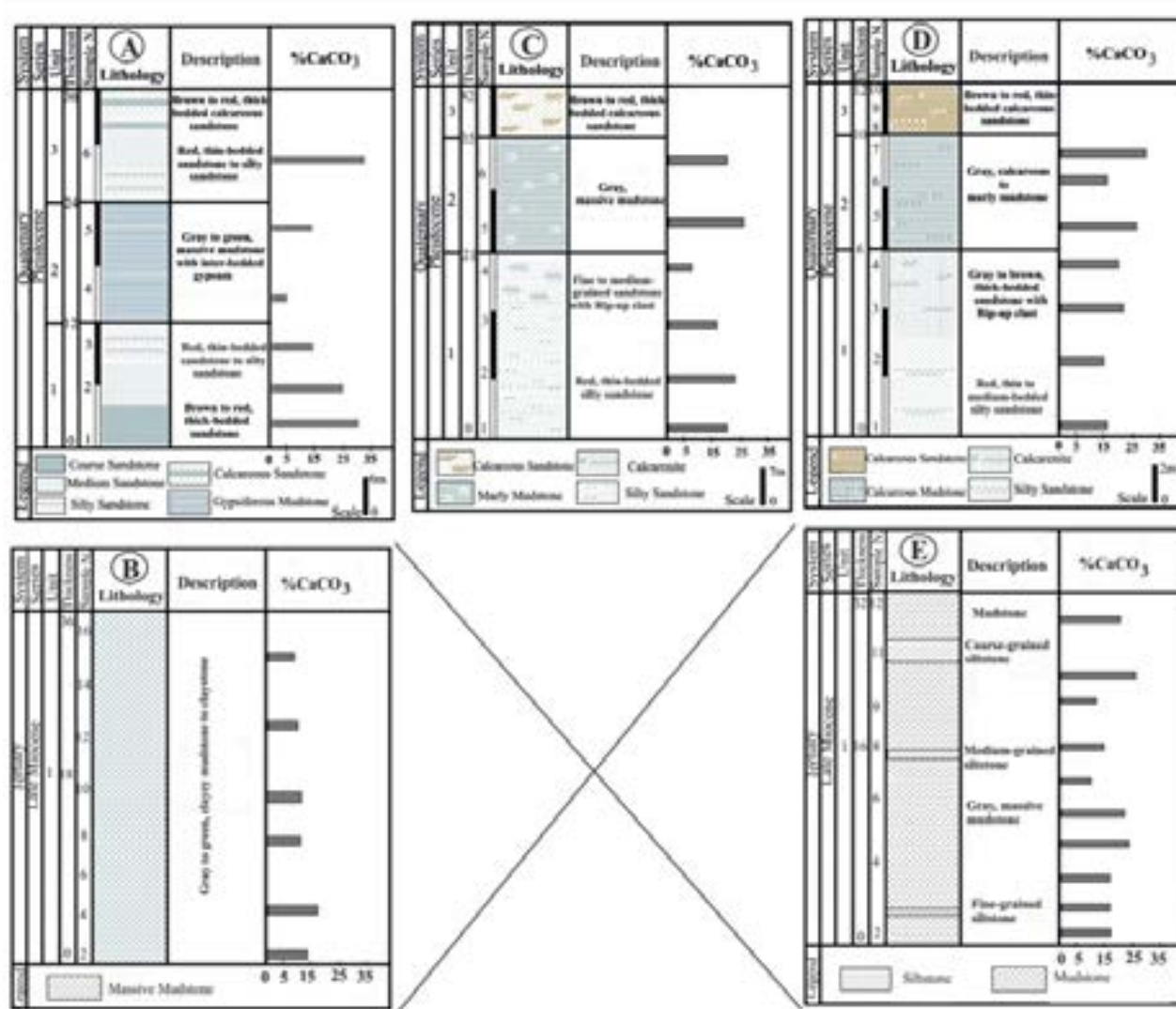


شکل ۲. بخشی از نقشه زمین‌شناسی ۱:۱۰۰۰۰۰ چهارگوش چابهارکه ناحیه مورد مطالعه در آن قرار می‌گیرد (جعفریان و صمدیان، ۱۳۷۵).

بحث و نتایج
کے نات سنخی

منطقه مورد مطالعه از یک واحد رسویی معروف به مارن^۱ تشکیل شده که میان لایه‌هایی از سیلیستون نیز در آن دیده می‌شود (جعفریان و صمدیان، ۱۳۷۵). واحد مارنی به وسیله طبقات ماسه‌سنگی و کنگلومراپی پلیو - پلیستوسن پوشیده می‌شود (آقاباتی، ۱۳۸۵). با توجه به نتایج کربنات سنجدی نمونه‌ها، واحدهای سنگی (برش‌های گورانکش و خورگیندر) که در منطقه مورد مطالعه توسط جعفریان و صمدیان (۱۳۷۵)، به عنوان مارن معرفی شده و گسترش زیادی نیز در منطقه دارند، به دلیل داشتن ۹ الی ۲۱ درصد آهک (جدول ۱) گلستان (Pettijohn، ۱۹۷۵) بیشنهاد می‌گردند.

(Muller and Gatsner, 1971) و بر حسب درصد تعیین گردید (جدول ۱). افرون بر این، ۵۲ مقطع نازک میکروسکوپی توسط میکروسکوپ پلاریزان مطالعه شده و نامگذاری ماسه سنگ‌ها بر مبنای مطالعات Folk (1980) صورت گرفته است. برای انجام مطالعات ژئوشیمی نیز ۱۲ نمونه (۶ نمونه گلسنگ و ۶ نمونه ماسه سنگ) به روش XRF (MAGIX-PRO) جهت تجزیه عناصر اصلی (جدول ۲) و ۱۱ نمونه (۶ نمونه گلسنگ و ۵ نمونه ماسه سنگ) به روش ICP-EAS جهت تجزیه عناصر فرعی و نادرخاکی (جدول ۳) به آزمایشگاه سازمان زمین‌شناسی و کشاورزی کشور ارسال و مورد آنالیز قرار گرفته است. برای شناسایی کانی‌های رسی نیز ۱۰ نمونه (۶ نمونه گلسنگ و ۴ نمونه ماسه سنگ) پس از پودر شدن توسط هاون آگاتی به کشور رژپن ارسال و در دانشگاه یامانگاتای این کشور به روش پراش پرتو ایکس^۱، مورد آنالیز قرار گرفتند (آفرین، ۱۳۹۱).



شکل ۳. ستون چینه‌شناسی پیرش‌های تیس (A)، خورگ‌پندر (B)، لیبار (C)، رمین (D) و گورانکش (E).

- ## 1. X-Ray Diffraction 2. Marl

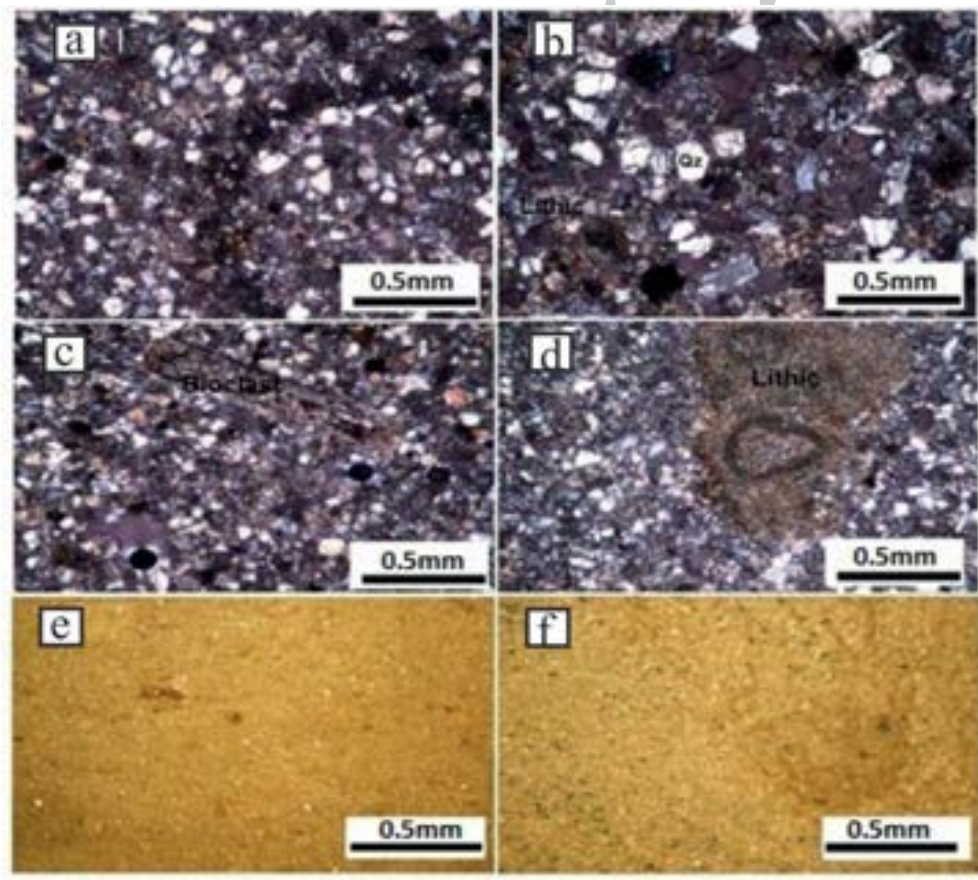
جدول ۱. نتایج کلسیمتری نمونه‌های مورد مطالعه.

Sample N.	E-1	E-3	E-5	E-6	E-7	E-10	E-12	A-1	A-3	A-6	A-8	A-15
CaCO ₃ (%)	16	16	17	11	15	21	18	13	17	12	12	9

متوسط تا خوب و زاویه‌دار تا نیمه زاویه‌دار می‌باشند. دو میان جزء آواری فراوان در ماسه سنگ‌ها، قطعات سنگی است که شامل خرددهای ماسه‌سنگی، سیلتستونی و آهکی است که اندازه آنها از ۰/۸ تا ۱/۵ میلیمتر متغیر است. فلدسپارها نیز به ترتیب فراوانی شامل فلدسپارهای پتاسیم و به میزان کمتر پلازیوکلازها هستند. از کانی‌های فرعی نیز می‌توان به میکا (مسکوویت) و کانی‌های سنگین اشاره نمود. بنابراین، رخساره ماسه‌سنگی بطور عمده از نوع لیتاًرنايت (Folk 1980)، است (شکل ۴a, b, c, d). رخساره گلسنگی نیز به رنگ سبز تیره و قادر لامیناسیون است. دانه‌های تشکیل دهنده رخساره مذکور شامل کوارتزهای بسیار ریز با قطر متوسط ۰/۰۵ میلیمتر، زاویه‌دار، با خاموشی مستقیم و ذرات در اندازه سیلت و رس (گل) است (شکل ۴e, f).

پتروگرافی

مطالعات پتروگرافی نشان داد که سنگ‌های سیلیسی آواری مورد مطالعه بر اساس اندازه ذرات به دو مجموعه رخساره‌ای ماسه‌سنگ و گلسنگ تقسیم می‌شوند. رخساره ماسه‌سنگی مشتمل از ماسه‌سنگ‌های سبز مایل به خاکستری، دارای ساختمان‌های رسوی طبقه‌بندی مورب و تدریجی است (آفرین، ۱۳۹۱). ماسه‌سنگ‌ها به ترتیب فراوانی از کوارتز (۶۵ درصد)، خرددهسنگ (۳۰ درصد)، فلدسپار (۴ درصد)، کانی‌های سنگین و اوپاک (۱ درصد) تشکیل شده است. کوارتزها عمدها از نوع منوکریستالین با خاموشی مستقیم که تماس بین دانه‌ها از نوع خطی تا مضرس است. اندازه دانه‌های کوارتز بین ۰/۲ تا ۰/۹ میلیمتر در تغییر است. همچنین این دانه‌ها دارای جورشدگی



شکل ۴. تصاویر میکروسکوپی از رخساره‌های آواری (XPL):

- a. کوارتزهای منوکریستالین با خاموشی مستقیم و خرددهای ماسه‌سنگ و سیلتستون به علاوه مقداری فلدسپات (لیتاًرنايت).
- b. دانه‌های کوارتز منوکریستالین با خاموشی مستقیم، خرددهای رسوی و مقداری فلدسپات (لیتاًرنايت).
- c. قطعات سنگی از نوع خرددهای فسیلی بازوپایان (Bioclast)، گل آهکی، کوارتزهای میکروکریستالین (لیتاًرنايت).
- d. حاوی ذرات کوارتز دانه ریزتر از مقاطع قبلی و خرددهای رسوی بزرگ از نوع سیلتستون (لیتاًرنايت).
- e, f. حاوی کوارتزهای بسیار ریز و میکروکریستالین در زمینه‌ای از سیلت و رس (گل) است (گلسنگ یا مادستون).

جدول ۲. مقادیر عناصر اصلی و نسبت‌های محاسبه شده برای گلسنگ‌ها و ماسه‌سنگ‌های ناحیه شرق چابهار.

ماسه‌سنگی							نمونه‌های گلسنگی							Oxids %Wt
D-3	C-6	C-2	B-3	B-1	E-12	E-6	E-2	E-1	D-5	A-6	A-5			
۵۹/۷۲	۵۹/۵۰	۵۹/۵۲	۵۸/۱۴	۵۷/۹۹	۵۴/۵۶	۵۵/۱۳	۵۵/۹۴	۵۴/۸۶	۵۴/۵۱	۵۳/۹۱	۵۳/۸۹			SiO ₂
۱۰/۷۹	۱۱/۳۱	۹/۷۷	۱۰/۵۲	۱۱/۴۲	۱۴/۴۸	۱۴/۳۸	۱۵/۱۸	۱۴/۳۶	۱۴/۴۳	۱۴/۹۵	۱۵/۱۷			Al ₂ O ₃
۳/۶۷	۴/۰۲	۳/۷۵	۳/۹	۴/۱۱	۶/۴۲	۵/۰۱	۶/۴۹	۶/۱۵	۵/۹۴	۶/۴۹	۶/۰۶			Fe ₂ O ₃
۰/۱۲	-	۰/۱۲	-	<۰/۱	<۰/۱	-	-	<۰/۱	<۰/۱	-	<۰/۱			MnO
۲/۹۸	۳/۳۹	۳/۲۲	۳	۳/۰۶	۳/۶۰	۳/۶۳	۳/۷۹	۳/۶۲	۴/۰۷	۳/۵۲	۳/۶۲			MgO
۷/۹۳	۷/۶۲	۱۰/۰۷	۹/۲	۸/۴۳	۵/۶۲	۶/۶۴	۵/۱۶	۵/۷۳	۵/۴۲	۵/۱۴	۵/۰۷			CaO
۱/۹۵	۱/۸۹	۱/۰۹	۲/۰۲	۲/۰۷	۱/۳۲	۱/۲۶	۱/۲۹	۱/۶۶	۱/۳۸	۱/۸۲	۱/۶۵			Na ₂ O
۱/۰۵	۱/۸۶	۱/۰۵	۱/۸۶	۱/۷۶	۲/۶۷	۲/۴۸	۲/۸۶	۲/۵۷	۲/۵۷	۲/۸۶	۲/۶۷			K ₂ O
۰/۶۱	۰/۰۹	۰/۰۷	۰/۰۷	۰/۰۷	۰/۷۲	۰/۶۸	۰/۶۹	۰/۶۶	۰/۶۴	۰/۷۳	۰/۶۶			TiO ₂
۰/۱۹	۰/۱۶	۰/۲۰	۰/۱۵	۰/۱۴	۰/۱۸	۰/۱۹	۰/۱۸	۰/۱۶	۰/۱۸	۰/۱۸	۰/۱۸			P ₂ O ₅
۹/۷۲	۹/۰۲	۸/۶۲	۹/۹	۹/۴۴	۹/۴۴	۹/۵۰	۷/۹۸	۹/۵۰	۱۰/۱۸	۹/۵۶	۹/۸۲			LOI
۹۹/۲۳	۹۹/۳۶	۹۹/۴۸	۹۹/۰۶	۹۹/۰۹	۹۹/۱۵	۹۹/۴	۹۹/۵۶	۹۹/۳۷	۹۹/۴۲	۹۹/۱۶	۹۸/۸۹			Total
۶/۶۵	۷/۴۱	۶/۹۷	۶/۹	۷/۱۷	۱۰/۰۳	۹/۱۴	۱۰/۲۸	۹/۷۷	۱۰/۰۱	۱۰/۰۲	۹/۶۸			Fe ₂ O ₃ +MgO
۰/۱۸	۰/۱۹	۰/۱۶	۰/۱۸	۰/۲۰	۰/۲۷	۰/۲۶	۰/۲۷	۰/۲۶	۰/۲۶	۰/۲۸	۰/۲۸			Al ₂ O ₃ /SiO ₂
۰/۷۹	۰/۹۸	۰/۹۷	۰/۸۲	۰/۸۵	۲/۰۲	۱/۹۷	۲/۲۲	۱/۵۵	۱/۸۶	۱/۰۷	۱/۶۲			K ₂ O/Na ₂ O
۵/۵	۵/۲	۶/۱	۵/۵	۵/۱	۳/۷	۳/۸	۳/۷	۳/۸	۳/۸	۳/۶	۳/۵			SiO ₂ /Al ₂ O ₃
۱/۷۴	۱/۷۱	۲/۲۳	۱/۶۰	۱/۷۶	۱/۳۸	۱/۴۰	۱/۴۱	۱/۴۲	۱/۳۹	۱/۳۷	۱/۳۱			CIV
۸۴/۷	۸۵/۷	۸۶	۸۵	۸۴/۶	۹۱/۶	۹۲	۹۱	۸۹/۶	۹۱	۸۹	۹۰			CWI'

موجود در سنگ‌های رسویی را می‌توان با استفاده از نمودارهای به هنجارسازی شبیه به نمودارهای عنکبوتی بررسی کرد (Rollinson, 1993). مطالعات نشان داده که غلظت بسیاری از عناصر در سنگ‌های رسویی دانه ریز فلات قاره سراسر جهان به دلیل آمیختگی ناشی از چرخه‌های مکرر فرسایشی شبیه به یکدیگر می‌باشد. از این رو پر استفاده‌ترین مقادیر به‌هنجارسازی در سنگ‌های رسویی مربوط به میانگین قسمت بالایی پوسته قاره‌ای است (Rollinson 1993). به‌هنجارسازی نمونه‌ها نسبت به میانگین قسمت بالایی پوسته قاره‌ای (Taylor and McLennan, 1985) در شکل ۵ نشان داده شده است.

بر این اساس ماسه‌سنگ‌ها و گلسنگ‌های مورد مطالعه نسبت به UCC، تخلیه محسوسی در میزان Fe₂O₃, Na₂O, P₂O₅ و Ca می‌دهند و سایر عناصر تقریباً در محدوده UCC قرار می‌گیرند. کاهش میزان Fe₂O₃, Na₂O, P₂O₅ و Ca و گلسنگ‌های مورد مطالعه را می‌توان به تحرک زیاد این عناصر در طی هوازدگی شیمیایی، فرآیندهای دیاژنزی و دگرسانی ثانویه نسبت داد (Das et al., 2006). همچنین کم بودن سدیم را می‌توان به فقدان سنگ‌های

ژئوشیمی از داده‌های ژئوشیمی عناصر اصلی و فرعی می‌توان جهت طبقه‌بندی شیمیایی سنگ‌ها، تعیین شرایط هوازدگی اولیه سنگ‌های رسویی، تفکیک رسوبات بالغ از نابالغ، تعیین سنگ‌منشأ و جایگاه زمین‌ساختی اصلی سنگ‌های آذرین و بعضی از سنگ‌های رسویی استفاده نمود (Rollinson, 1993). مقادیر عناصر اصلی ۱۲ نمونه از ماسه‌سنگ‌ها و گلسنگ‌های ناحیه مورد مطالعه در جدول ۲، به علاوه مقادیر عناصر فرعی ۱۱ نمونه دیگر نیز در جدول ۳ ارائه شده است. با استفاده از اکسیدهای اصلی و عناصر فرعی و پلات آنها بر روی نمودارهای مختلف، نتایجی حاصل شده که در ادامه به بیان آنها خواهیم پرداخت.

مطالعه عناصر اصلی اغلب به ۱۰ عنصر P, K, Na, Ca, Fe, Al, Ti, Mg, Mn و Si محدود می‌شود که به طور مرسوم در تجزیه شیمیایی به صورت اکسید بیان می‌شوند (Rollinson, 1993). در میان این اکسیدها Na₂O, CaO, MgO و TiO₂ متحرک و اکسیدهای Al₂O₃ غیرمتحرک هستند (Bauluz et al., 2000).

جدول ۳. مقادیر عناصر فرعی موجود در گلسنگ‌ها و ماسه‌سنگ‌های ناحیه شرق چابهار.

نمونه‌های گلسنگی					نمونه‌های ماسه‌سنگی						Elements (ppm)
D-4	C-3	C-1	B-3	B-2	E-4	E-2	D-3	A-4	A-2	A-1	
۱۹۳/۳	۱۵۸/۲	۱۷۴/۴	۱۶۴/۴	۱۶۰	۲۲۷/۶	۲۴۸/۸	۲۳۲	۱۸۳/۴	۲۵۵/۷	۲۳۷/۵	Ba
۱۲۵/۳	۹۱/۶	۱۴۴/۱	۸۶/۴	۸۵/۹	۱۴۲/۲	۱۵۸/۸	۱۶۲	۱۲۳/۲	۱۴۷/۹	۱۰۰/۳	Cr
۲۰/۲	۱۳/۱	۱۲/۴	۱۴/۴	۱۴/۰	۱۸/۹	۲۱/۹	۲۰/۸	۱۷/۲	۱۷/۹	۱۹/۷	Nb
۸۲/۷	۸۸/۴	۷۶/۲	۷۸/۳	۷۸	۹۸/۷	۹۰/۱	۹۱/۶	۸۳/۴	۹۳/۴	۹۰/۲	Rb
۱۳/۴	۸/۷	۸/۳	۹/۹	۹/۷	۱۴/۷	۱۷/۷	۱۶/۱	۱۳/۶	۱۳/۹	۱۴	Sc
۱۰/۵	۶/۶	۶/۳	۹/۳	۹	۱۳/۳	۱۴/۷	۱۳	۱۲/۲	۱۲/۱	۱۲/۲	Th
۴/۸	۳/۶	۳/۴	۴/۷	۴/۷	۵/۹	۶/۲	۶/۲	۶/۶	۶/۶	۶/۵	U
۱۱۳	۷۷	۷۹/۱	۹۲/۶	۹۲/۵	۱۲۷/۸	۱۴۷/۳	۱۴۱/۸	۱۱۳/۸	۱۱۶/۸	۱۱۵	V
۳۲/۴	۲۱/۰	۲۵/۸	۲۴/۸	۲۵	۲۷/۸	۳۱/۸	۲۹/۴	۲۳/۸	۲۵/۱	۲۸	Y
۲۱۸/۸	۱۴۱/۴	۱۵۶/۷	۱۶۴/۴	۱۶۴	۲۰۳/۹	۲۲۵/۵	۲۱۱/۷	۱۶۷/۳	۱۸۶/۶	۱۷۵/۲	Zr
۲۳/۱	۱۹/۹	۱۷/۲	۲۰/۶	۲۰/۵	۲۸/۲	۳۳/۵	۳۳/۳	۳۲/۶	۳۴/۲	۳۳/۴	Co
۱۴/۵	۱۷/۵	۱۵/۴	۲۴	۲۳/۸	۳۱/۳	۳۲/۷	۲۲/۹	۴۰/۶	۳۷/۴	۳۹	Cu
۱۰۹/۴	۹۴/۵	۷۱/۵	۱۰۵/۴	۱۰۴	۱۵۱/۶	۱۵۷	۱۶۱/۶	۱۰۹/۵	۱۶۱/۵	۱۶۰/۵	Ni
۲۲۱/۵	۱۹۷/۱	۳۰۳/۱	۵۱۴/۱	۵۱۵	۲۱۷/۱	۲۱۱/۳	۱۷۲/۹	۱۴۹/۵	۱۳۷/۸	۱۲۸/۴	Sr
۸۷/۶	۵۶/۱	۴۸/۴	۶۲	۶۳	۹۱/۳	۱۰/۷	۱۰/۴	۹۵/۹	۹۳/۵	۹۴	Zn
۲۹/۵	۱۹/۸	۲۴/۳	۲۱/۴	۲۱/۵	۲۷/۹	۳۲/۱	۲۹/۳	۲۴/۴	۲۵/۶	۲۶	La
۵۵/۴	۳۹/۱	۴۱/۷	۳۹/۶	۴۰	۵۳/۲	۶۴/۴	۵۷/۹	۴۸/۸	۵۱/۲	۵۰/۲	Ce
۳۰/۱	۲۴/۴	۲۵	۲۶/۷	۲۵	۲۹/۷	۲۸/۷	۲۵/۶	۲۴/۲	۲۷/۵	۲۵	Nd
۲	۱/۵	۲/۱	۱/۵	۱/۷	۱/۸	۱/۹	۱/۹	۲/۵	۲/۵	۲/۳	Eu
۶/۹	۵/۵	۶	۹/۹	۷	۸	۸/۷	۸/۶	۹/۳	۹	۹/۲	Gd
۵/۸	۳	۳/۶	۳/۷	۳/۸	۶/۶	۷/۸	۷/۲	۶/۶	۵/۹	۶	Dy
۲/۵	۲/۸	۲/۸	۲/۳	۲/۵	۲/۷	۲/۴	۲/۵	۲/۵	۲/۴	۲/۵	Er
۳/۲	۲/۱	۲/۲	۲/۳	۲/۲	۳/۱	۳/۵	۳/۳	۳/۲	۲/۹	۳	Yb
۰/۴	۰/۳	۰/۳	۰/۴	۰/۴	۰/۵	۰/۶	۰/۶	۰/۶	۰/۷	۰/۶	Lu

ماسه‌سنگ‌ها و گلسنگ‌ها شناخته می‌شوند (Gateneh, 2000). در ماسه‌سنگ‌ها و گلسنگ‌های مورد مطالعه که روند تغییرات Al_2O_3 در برابر دیگر اکسیدها بررسی شده است (شکل ۶)، میزان SiO_2 و O با CaO و Al_2O_3 رابطه معکوس و Na_2O , K_2O , Fe_2O_3 , MgO و TiO_2 و P_2O_5 اطباق مثبتی با Al_2O_3 نشان می‌دهند. تبعیت بیشتر اکسیدها از روند Al_2O_3 نشان‌دهنده فراوانی کانی‌های رسی در این سنگ‌هاست، زیرا عنصر آلومینیوم به طور ویژه در ساختمان رس‌ها حضور دارد (Das et al., 2006; Pettijohn et al., 1987).

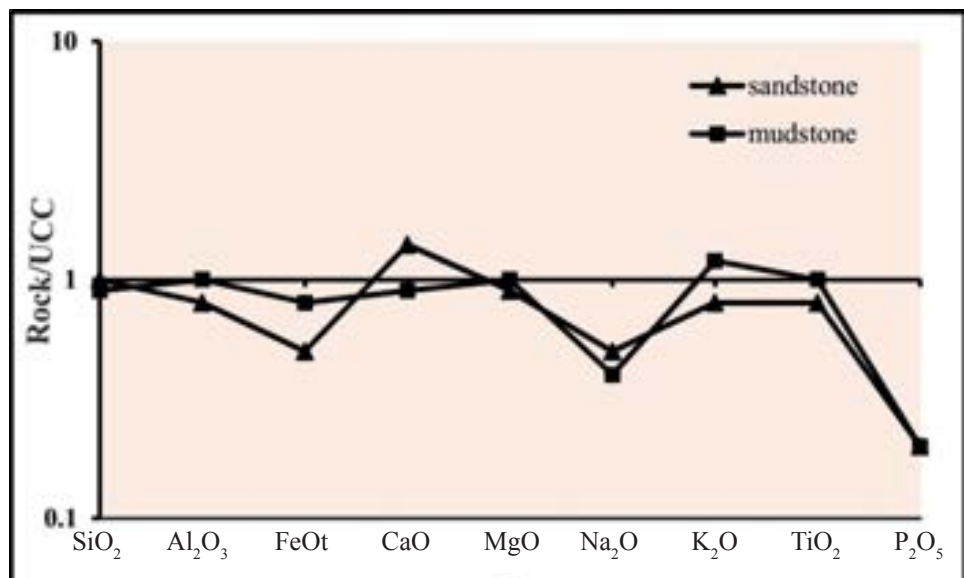
انطباق مثبت بین Al_2O_3 و K_2O نشان دهنده تمرکز کانی‌های

با منشأ پلازیوکلازهای سدیم‌دار مرتبه دانست (Rashid, 2002). مقادیر بالای CaO در نمونه‌ها نیز می‌تواند به دلیل حضور قطعات اسکلت آهکی دوکفه‌ای‌هایی نظری اویستر^۱ و پکتن^۲ باشد که به وفور در رسوبات منطقه مشاهده گردید.

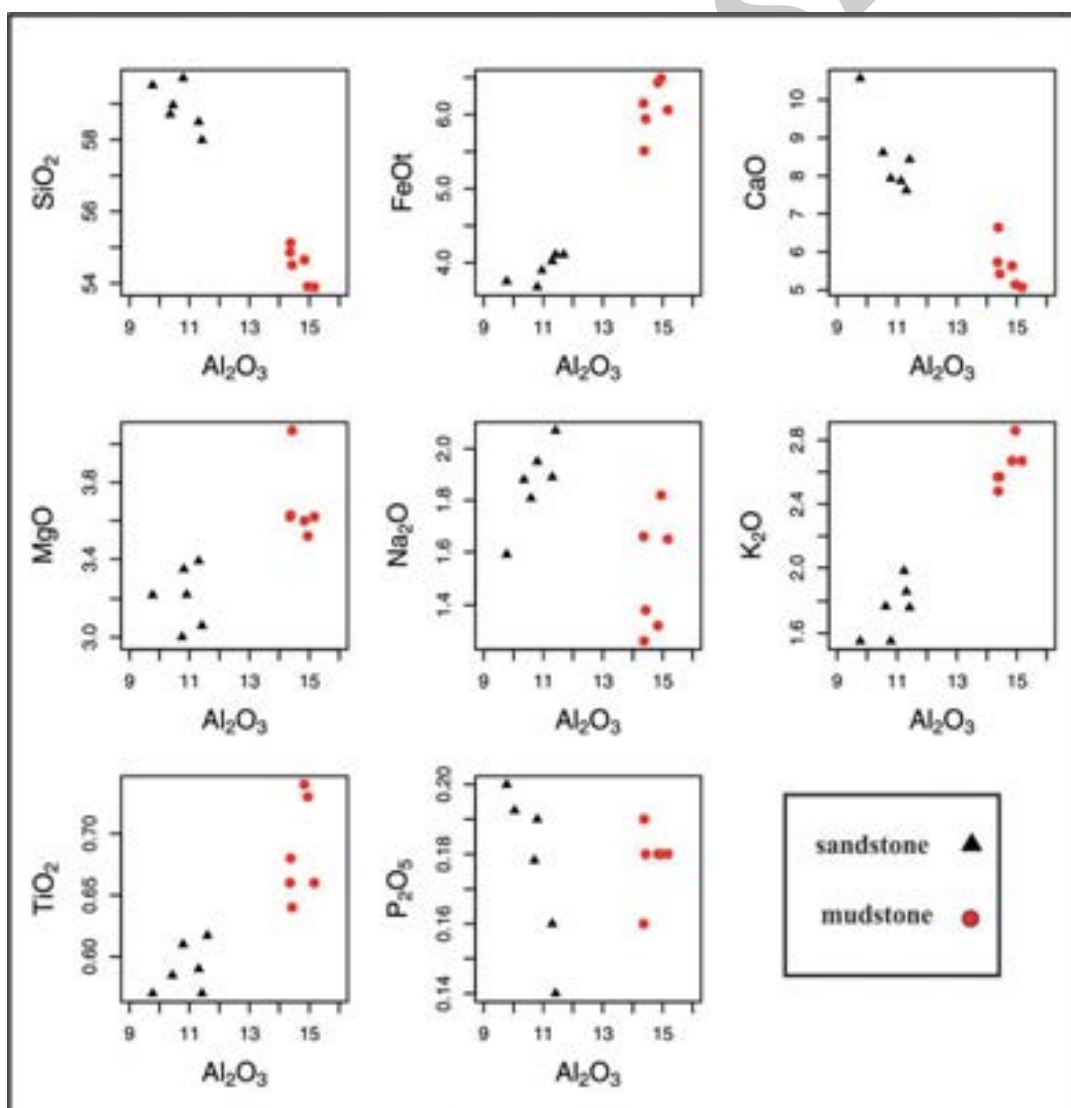
اکسید آلومینیوم (Al_2O_3) معمولاً به عنوان فاکتوری مناسب جهت مقایسه بین اقسام مختلف سنگ‌ها به کار برده می‌شود (Cardenas et al., 1996)، زیرا این عنصر در طول فرآیندهای هوازدگی، دیاژن و دگرگونی نسبتاً بدون تغییر است. این در حالی است که CaO به عنوان بیشترین فازهای متغیر در

1. Oyster

2. Pecten



شکل ۵. بهنجارسازی نمونه‌ها نسبت به پوسته قاره‌ای بالایی (Taylor and McLennan, 1985) (UCC) در ماسه سنگ‌ها و گلسنگ‌های مورد مطالعه.



شکل ۶. بررسی روند تغییرات عناصر اصلی نسبت به Al_2O_3 در ماسه‌سنگ‌ها و گلسنگ‌های مورد مطالعه.

این اندیس فراوانی آلومینیوم را نسبت به سایر کاتیون‌های اصلی در یک سنگ یا کانی‌های اندازه می‌گیرد. به عقیده (Cox et al., 1995) کانی‌های فاقد رس، ICV بالاتری نسبت به کانی‌های رسی دارند و نمونه‌های حاوی کانی‌های رسی فراوان، ICV کمتر از ۱ دارند و در نواحی با فرآیش^۲ خیلی کم، همراه با هوازدگی شیمیایی شدید تشکیل می‌شوند. نمونه‌های که ICV بالاتر از ۱ دارند، به احتمال زیاد رسوبات سیکل اول هستند و آنهایی که ICV کمتر از ۱ دارند، ممکن است رسوبات چرخه مجدد یا رسوبات به شدت هوازده از سیکل اول رسوبی باشند (Cullers and Podkowyrov, 2002). البته در صورتی می‌توان به این اندیس مطمئن بود که دیاژنر میزان Na_2O و CaO را تغییر نداده باشد (Cox et al., 1995; Cullers and Podkowyrov, 2002) میزان ۱/۵۷ ماسه‌سنگ‌ها و گلسنگ‌های مورد مطالعه به طور میانگین می‌باشد و نشان می‌دهد که از رسوبات سیکل اول نتیجه شده و شدت هوازدگی روی آنها به طور متوسط عمل کرده است.

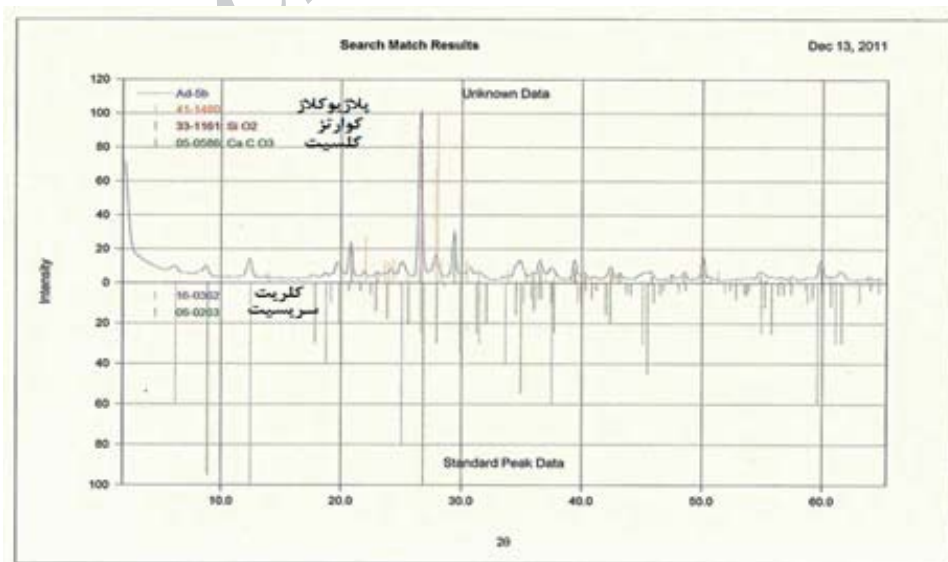
هوازدگی سنگ منشأ

تجزیه‌های ژئوشیمیایی عناصر اصلی سنگ‌های آواری، وسیله مناسبی برای تعیین جایگاه زمین‌ساختی در ماسه‌سنگ‌هایی هستند که تحت تأثیر شدید دیاژنر و دگرگونی یا دیگر فرآیندهای دگرسانی و هوازدگی قرار نگرفته‌اند (McLennan et al., 1993). بنابراین، لازم است برای ارزیابی انواع برخاستگاه رسوبات، نقش هوازدگی نیز بررسی شود (McLennan et al., 1993; Nesbitt and Young, 1982; Nesbitt et al., 1980; Ohta and Sakai, 2004). تعیین میزان هوازدگی در سنگ‌های رسوبی با استفاده از داده‌های ژئوشیمیایی از ارتباط بین عناصر قلایی با قلایی خاکی انجام می‌گیرد (Nesbitt and Young, 1982). تاریخچه هوازدگی سنگ‌های آواری را اغلب توسط محاسبه نسبت اکسیدهای

پتاسیم‌دار در نمونه‌های مورد بررسی است که تأثیر مهمی بر روی پراکنده‌گی آلومینیوم دارد. نمونه‌های ماسه‌سنگی و گلسنگی که در صد بالایی از K_2O و MgO را نشان می‌دهند حاوی مسکوویت، سریسیت و کلریت زیادی هستند (شکل ۷)، که در بررسی‌های کانی‌شناسی به روش پراش پرتو ایکس (XRD) نیز دیده شده‌اند (آفرین، ۱۳۹۱). در نتیجه وجود اکسیدپتاسام (K_2O) بالا در مسکوویت و سریسیت و همچنین وجود اکسیدهای آهن (Fe_2O_3) و منیزیم K_2O ، Fe_2O_3 (MgO) بالا در کلریت موجب رابطه مستقیم بین K_2O و Al_2O_3 شده است.

از تحرک عناصر اصلی در طی هوازدگی، حمل و نقل و دیاژنر، می‌توان در تعیین درجه بلوغ رسوبات استفاده نمود (McLen-nan, 1993). مقادیر پایین Na_2O در ماسه‌سنگ‌های مورد مطالعه می‌تواند میین بلوغ بالای آنها باشد. به علاوه نسبت $\text{SiO}_2/\text{Al}_2\text{O}_3$ نیز یک اندیس مورد استفاده برای تعیین بلوغ است (Potter, 1978). این میزان در طی هوازدگی، حمل و نقل و چرخه مجدد، در نتیجه افزایش کوارتر نسبت به اجزای ناپایدار مثل فلدسپار و قطعات سنگی افزایش می‌یابد. نسبت $\text{SiO}_2/\text{Al}_2\text{O}_3$ بیشتر از ۵ تا ۶ در سنگ‌های رسوبی، نشان دهنده بلوغ بالای سنگ است (Roser et al., 1996). میانگین این کسر در ۶ نمونه ماسه‌سنگی ۰/۵ و در ۶ نمونه گلسنگی از سنگ‌های مورد مطالعه ۰/۵ است (جدول ۲). این اعداد بیانگر بلوغ متوسط به بالا در سنگ‌های مورد مطالعه است.

جهت تعیین رسوبات مربوط به سیکل اول رسوبی یا رسوبات حاصل از چرخه مجدد رسوبی، کاکس و همکاران (Cox et al., 1995) اندیس تنوع ترکیبی^۱ را بر اساس عناصر اصلی پیشنهاد دادند که از طریق فرمول زیر محاسبه می‌شود:

$$\text{ICV} = \frac{[\text{Fe}_2\text{O}_3 + \text{K}_2\text{O} + \text{Na}_2\text{O} + \text{CaO} + \text{MgO} + \text{MnO} + \text{TiO}_2]}{\text{Al}_2\text{O}_3}$$


شکل ۷. نمودار XRD که وجود کانی‌های رسی کلریت، سریسیت و نیز کوارتر، کلسیت و پلازیوکلاز را نشان می‌دهد.

1. ICV
2. Uplift

عناصر اصلی نیز تایید می‌گردد (آفرین، ۱۳۹۱).

سنگ منشأ

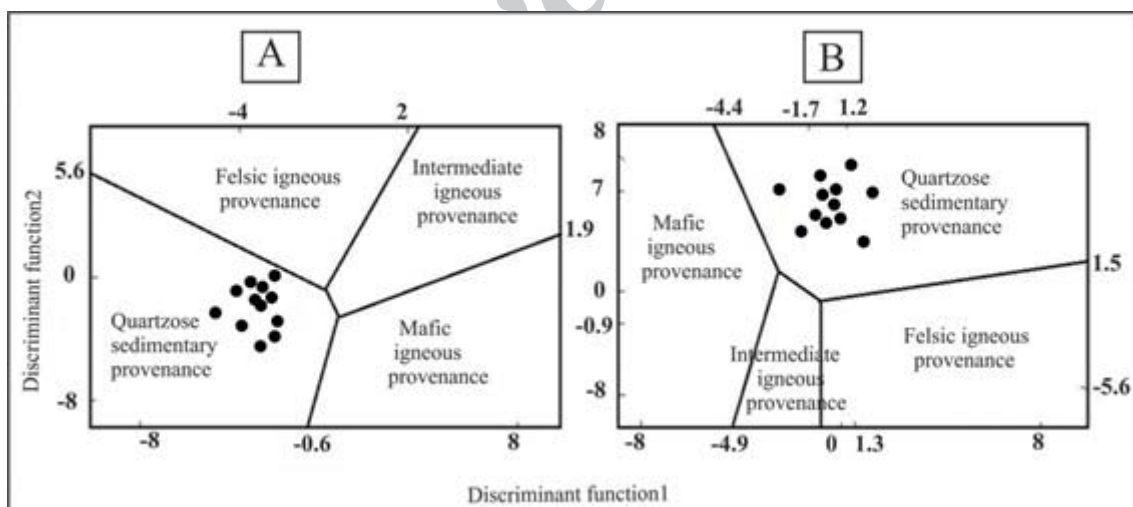
از نشانه‌های ژئوشیمیایی ثبت شده در سنگ‌های آواری می‌توان (Taylor and McLennan, 1985; Condie et al., 1992; Cullers, 1995; Cullers and Roser, 2002). با استفاده از دیاگرام تفکیک کننده (Podkovyrov, 1988) and Korsch (1988) و گلسنگ‌ها، ۴ برخاستگاه معرفی شده است که ۴ سنگ مادر اولیه آذرین مافیک، آذرین حدوداً، آذرین فلسیک و رسوبی کوارتزی را برای آنها نشان می‌دهد. این نمودارها بر اساس اکسیدهای اصلی Al، Fe، Ca، Mg، Ti، Na، K چهار منشأ مذکور را از یکدیگر تفکیک می‌کنند. داده‌های اکسیدی نمونه‌های مذکور در دیاگرام‌های تابع تمایزی در محدوده با منشأ رسوبی کوارتزی قرار می‌گیرند (شکل A-۸). رسوبات مشتق شده از منشأ رسوبی کوارتزی از نظر سنگ‌شناسی، ماسه‌سنگ‌های غنی از کوارتز می‌باشند که در ناحیه درون کراتونی یا گوهزایی با چرخه مجدد دیاگرام (Dickinson et al. 1983) قرار می‌گیرند. همچنین، Si (Roser and Korsch) (1988) و Ca (B-8) در دیاگرام تفکیکی دیگری بر اساس نسبت اکسیدهای بیوژنیک، دیاگرام تفکیکی دیگری بر اساس نسبت Al₂O₃، TiO₂، Fe₂O₃، MgO، Na₂O به K₂O بر اساس آن نیز کلیه نمونه‌ها در محدوده با منشأ رسوبی کوارتزی قرار می‌گیرند (شکل B-8).

متحرک CaO و Na₂O، K₂O و نسبت به اکسید غیرمتحرک Al₂O₃ تخمین می‌زنند (Nesbitt and Young, 1984; 1989).

از اندیس‌های معمول هوازدگی می‌توان به اندیس هوازدگی (CIA = [Al₂O₃ / Al₂O₃ + CaO + Na₂O + K₂O]) (Nesbitt and Young, 1982)، اندیس هوازدگی (CIW = [Al₂O₃ / Al₂O₃ + CaO + Na₂O]) (Harnois, 1988) و اندیس هوازدگی پلازیوکلاز (PIA = [(Al₂O₃ - K₂O) / (Al₂O₃ + CaO + Na₂O - K₂O)]) (Fedo et al., 1995) اشاره نمود. نکته قابل توجه در محاسبه این اندیس‌ها، قرارگیری تنها مقادیر CaO موجود در کانی‌های سیلیکاتی در این فرمول‌ها است. حضور سیمان‌های کربناتی و میزان CaO متغیر، خطای مقادیر حاصل از CIA، PIA و CIW را افزایش می‌دهد. بنابراین، برای حذف اثر نامطلوب سیمان کربناتی، در محاسبه اندیس هوازدگی سیلیسی آواری‌های مورد مطالعه از فرمول (Cullers 2000) استفاده شده است.

$$CWI' = [(Al_2O_3 / Al_2O_3 + Na_2O)]$$

مقادیر عددی بدست آمده (CWI' = ۸/۸/۸) بیانگر هوازدگی شیمیایی متوسط به بالای سنگ منشأ ماسه‌سنگ‌ها و گلسنگ‌های منطقه چابهار می‌باشد. این امر می‌تواند به دلیل تغییر شرایط آب و هوایی در طی نهشت این رسوبات در منطقه باشد، به گونه‌ای که آب و هوا در بخش عمده‌ای از این رسوبات از خشک به نیمه خشک تغییر کرده است و با توجه به نمودار ژئوشیمیایی Suttner and Dutta (1986) در تعیین آب و هوا با استفاده از اکسیدهای



شکل ۸. دیاگرام‌های تابع تمایزی بر اساس مقادیر عناصر اصلی (Roser and Korsch, 1988)؛ (آبی، ۱۳۹۰). (A) نمونه‌های ماسه‌سنگی و گلسنگی مورد مطالعه در محدوده خاستگاه رسوبی کوارتزی قرار گرفته‌اند. (B) دیاگرام تفکیک کننده تابعی بر اساس اکسیدهای اصلی جهت جلوگیری از تأثیر Ca و Si بیوژنیک، که میان قرارگیری نمونه‌ها در محدوده منشأ رسوبی-کوارتزی است.

تابع تفکیکی نمودار A:

$$\text{Discrimination function 1} = -1.773 \text{TiO}_2 + 0.607 \text{Al}_2\text{O}_3 + 0.76 \text{Fe}_2\text{O}_3 - 1.5 \text{MgO} + 0.616 \text{CaO} + 0.509 \text{Na}_2\text{O} - 1.224 \text{K}_2\text{O} - 9.09$$

$$\text{Discrimination function 2} = 0.445 \text{TiO}_2 + 0.07 \text{Al}_2\text{O}_3 - 0.25 \text{Fe}_2\text{O}_3 - 1.142 \text{MgO} + 0.438 \text{CaO} + 1.475 \text{Na}_2\text{O} + 1.426 \text{K}_2\text{O} - 6.861$$

تابع تفکیکی نمودار B:

$$\text{Discrimination function 1} = 30.638 \text{TiO}_2/\text{Al}_2\text{O}_3 - 12.541 \text{Fe}_2\text{O}_3/\text{Al}_2\text{O}_3 + 7.329 \text{MgO}/\text{Al}_2\text{O}_3 + 12.031 \text{Na}_2\text{O}/\text{Al}_2\text{O}_3 + 35.402 \text{K}_2\text{O}/\text{Al}_2\text{O}_3 - 6.382$$

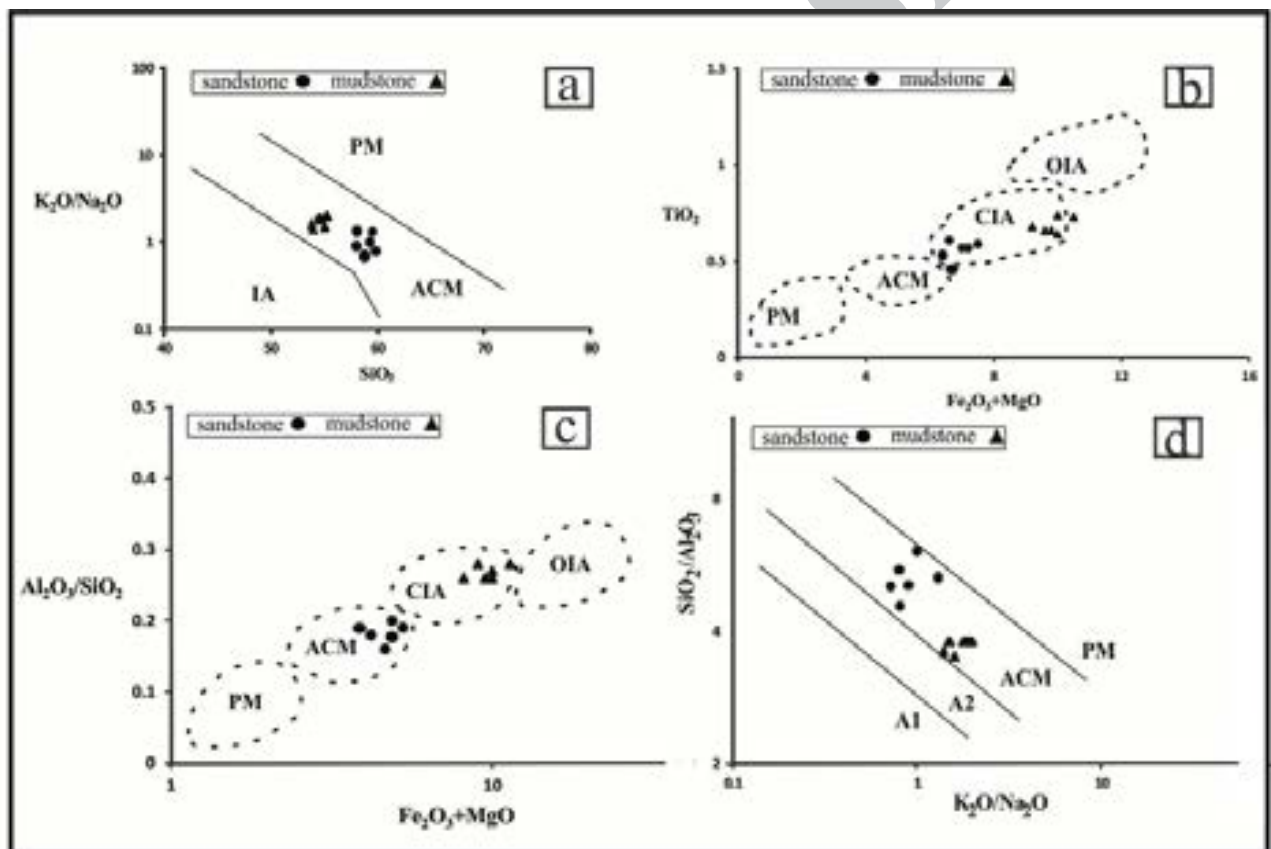
$$\text{Discrimination function 2} = 56.500 \text{TiO}_2/\text{Al}_2\text{O}_3 - 10.879 \text{Fe}_2\text{O}_3/\text{Al}_2\text{O}_3 + 30.875 \text{MgO}/\text{Al}_2\text{O}_3 - 5.404 \text{Na}_2\text{O}/\text{Al}_2\text{O}_3 + 11.112 \text{K}_2\text{O}/\text{Al}_2\text{O}_3 - 3.89$$

سیلیسیم می باشد $(Al_2O_3/SiO_2 = 0.3-0.2)$. حذف فلدسپارها و وجود کانی های رسی می تواند دلیل بر افزایش نسبت Al_2O_3/SiO_2 در نمونه ها باشد. در دیاگرام $SiO_2/Al_2O_3-K_2O/Na_2O$ نیز ماسه سنگ ها و گلسنگ های موردنظر مطالعه با نسبت تقریباً متوسط سیلیسیم به آلومینیوم ($SiO_2/Al_2O_3 = 4-6$) در محدوده حاشیه قاره ای فعال قرار گرفته اند (شکل ۹). بطور کلی رسم نمونه ها بر روی نمودارهای مختلف (شکل ۹)، نشان می دهد که ماسه سنگ ها و گلسنگ های ناحیه شرق چابهار در یک حاشیه قاره ای، غالباً نمکی شده اند.

از طرفی در سنگ‌های رسوی آواری، عناصر فرعی نظیر Co، V، Ni، Cs، Nb، Ti، Zr، Sc، Th و La تحت شرایط هوازدگی، دیاژنر و حتی فرآیندهای دگرگونی درجه متوسط، بدون تغییر هستند و مقادیر اولیه آنها حفظ می‌شود (Bhatia and Crook, 1986; McLennan et al., 1993). بنابراین، عناصر فرعی شاخص‌های خوبی برای تعیین منشأ اصلی و جایگاه زمین ساختی در سنگ‌های رسوی، آواری به شمار می‌آیند (Bhatia and Crook, 1986).

جایگاه زمین ساختی

با توجه به درصد اکسیدهای اصلی در ماسه سنگ‌ها و گلسنگ‌های ناحیه شرق چابهار و استفاده از نمودارهای Bhatia و Roser and Korsch (1986) (شکل a-۹) مقادیر SiO_2 در برابر نسبت $\text{K}_2\text{O}/\text{Na}_2\text{O}$ زمین ساختی این سنگ‌ها را مشخص نمود. بر اساس دیاگرام $\text{Na}_2\text{O}/\text{K}_2\text{O}/\text{Na}_2\text{O}$ (شکل b-۹) محدوده حاشیه قاره‌ای فعال^۱ را نشان می‌دهد. نسبت پایین $\text{K}_2\text{O}/\text{Na}_2\text{O}$ در ماسه سنگ‌ها و گلسنگ‌های مورد مطالعه (۱/۴۲) بیانگر عدم حضور فلدسپارهای پتاسیم و پلازیوکلاز و تهی شدگی این سنگ‌ها از سدیم و پتاسیم است. مقادیر عنصری نمونه‌های مورد مطالعه در دیاگرام $\text{TiO}_2-\text{Fe}_2\text{O}_3+\text{MgO}$ در نزدیک و خارج از محدوده حاشیه قاره‌ای فعال قرار گرفته‌اند (شکل b-۹). در دیاگرام $\text{Al}_2\text{O}_3/\text{SiO}_2-\text{Fe}_2\text{O}_3+\text{MgO}$ نمونه‌های ماسه سنگی در محدوده حاشیه قاره‌ای فعال و نمونه‌های گلسنگی در محدوده جزایر قوسی قاره‌ای^۲ قرار گرفته‌اند (شکل c-۹). از نکات قابل توجه در این دیاگرام افزایش چشم گیر نسبت آلومنیوم به



شکل ۹. (Roser and Korsch, 1986) $\text{SiO}_2\text{-Na}_2\text{O/K}_2\text{O}$ (a) نمونه های ماسه سنگی و گلسنگی مورد مطالعه در محدوده حاشیه قاره ای فعل قرار گرفته اند.
 (Bhatia, 1983) $\text{TiO}_2\text{-Fe}_2\text{O}_3\text{+MgO}$ (b) نمونه های ماسه سنگی در نزدیکی حاشیه قاره ای فعل قرار گرفته اند. (c) $\text{Al}_2\text{O}_3\text{/SiO}_2\text{-Fe}_2\text{O}_3\text{+MgO}$ (d) نمونه های ماسه سنگی در محدوده حاشیه قاره ای فعل و نمونه های گلسنگی در محدوده جزایر قوسی قاره ای فعل گرفته اند (آذربایجان، ۱۳۹۰).
 (Bhatia, 1983) (Roser and Korsch, 1986; Gu et al., 2002) $\text{Al}_2\text{O}_3\text{/SiO}_2\text{-K}_2\text{O/Na}_2\text{O}$ (d) محدوده های تعریف شده در این نمودارها عبارتند از: ACM=active continental margin, PM=passive margin, CIA=continental island arc, DIA=oceanic island arc, IA=island arc, A1=arc setting, basaltic and andesitic detritus, A2=evolved arc setting, felsitic-plutonic detritus

- - 1. Active Continental Margin
 - 2. Continental Island Arc

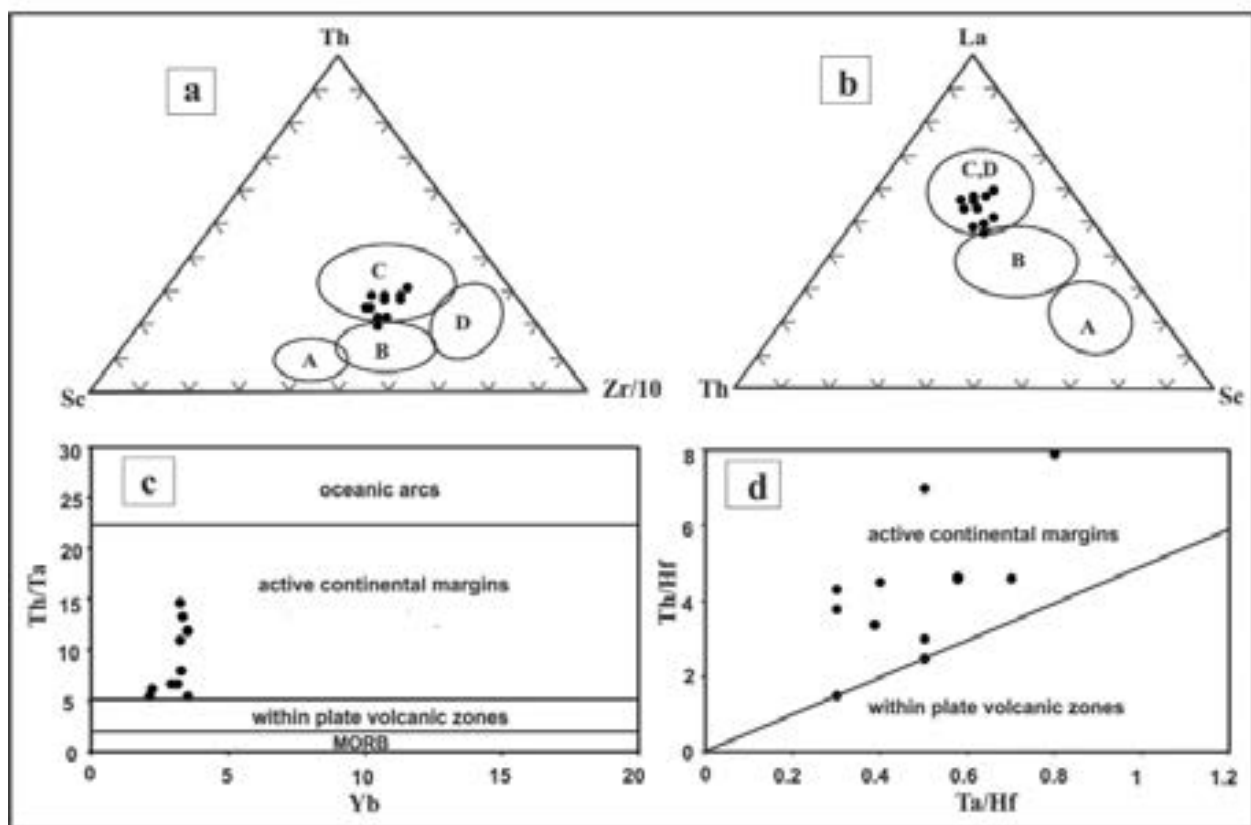
رسوبی (سنداستون آرنایت) و مقدار کمی فلدسپار تشکیل شده و بیشتر ترکیب لیتاًرنایت دارند. به هنجارسازی عناصر اصلی با میانگین پوسته قاره‌ای بالایی^۳، نشان دهنده کاهش میزان Na_2O , P_2O_5 و Fe_2O_3 نسبت به پوسته قاره‌ای بالایی (UCC) می‌باشد. این امر می‌تواند به علت تحرک این عناصر در طی فرآیندهای پس از رسوب گذاری و یا به علت سنگ‌مادر^۴ فاقد پلازیوکلازهای سدیدم‌دار باشد.

بررسی ژئوشیمی عناصر اصلی و محاسبه اندیس‌های هوازدگی^۵ و تنوع ترکیبی^۶ نشان داد که گلسنگ‌ها و ماسه‌سنگ‌های منطقه چابهار دارای هوازدگی و بلوغ شیمیایی متوسط می‌باشند. این نتایج با شرایط اقلیمی منطقه موردن مطالعه که از نوع بیابانی گرم میانه تا خشک است انصبابی دارد، زیرا در آب و هوای گرم و خشک شدت هوازدگی شیمیایی پایین بوده، ذرات و کانی‌های ناپایدار بطور کامل از بین نمی‌روند. حضور آلیت با توجه به مطالعات کانی‌شناسی به روش پراش پرتو ایکس^۷، در ترکیب این سنگ‌ها نیز مؤید این موضوع است. ماسه‌سنگ‌ها و گلسنگ‌های منطقه

(McLennan, 2001) ۱۹۸۶؛ ماسه‌سنگی و گلسنگی مورد مطالعه بر روی نمودارهای دوتایی (Bhatia and Crook, 1986; Schandl and Gorton, 2002) حاکی از تشکیل این سنگ‌ها در یک محیط زمین‌ساختی حاشیه قاره‌ای فعال است (شکل ۱۰).

نتیجه‌گیری

در منطقه ساحلی چابهار سیلیسی آواری‌های متعلق به سنوزوئیک رخمنون دارند که شامل مارن‌های میوسن - پسین، ماسه‌سنگ‌ها و کنگلومراهای پلئیستوسن می‌باشند. مقادیر آهک اندازه‌گیری شده نمونه‌های نسبت داده شده به مارن^۸ (برش‌های گورانکش و خورگریندر) بین ۹ تا ۲۱ درصد می‌باشد و بهتر است به جای مارن از واژه گلسنگ^۹ برای این نهشته‌ها استفاده نمود. زیرا مارن به مخلوطی از رس و کربنات کلسیم اطلاق می‌گردد که میزان کربنات کلسیم آن بین ۳۵ تا ۶۵ درصد در تغییر است. ماسه‌سنگ‌ها به ترتیب فراوانی ذرات تشکیل دهنده از کوارتز، قطعات سنگی



شکل ۱۰. نمودارهای تکنیکی کننده محیط تکتونیکی بر اساس عناصر فرعی: (a) و (b) La-Th-Sc (Bhatia and Crook, 1986) La-Th-Sc (c) و (d) Th-Sc-Zr/10 (Schandl and Gorton, 2002) (Ta/Hf در مقابل Th/Hf). نسبت (c) در مقابل Yb و (d) نسبت (d) در مقابل Th/Ta محدوده‌های تعریف شده عبارتند از: جزایر قوسی اقیانوسی (A)، جزایر قوسی قاره‌ای (B)، حاشیه‌های فعال قاره‌ای (C) و حاشیه‌های غیر فعال (D).

1. Marl
2. Mudstone
3. Upper Continental Crust
4. Source Rock
5. CWI'
6. ICV
7. X-Ray Diffraction

بر رسوی گذاری، دیاژنر و چرخه‌های رسوی. رساله دکترای تخصصی، دانشگاه تهران، دانشکده علوم، ۱۳۸۰، ۲۹۰.

- حسینی‌برزی، م.، جعفرزاده، م. و آدابی، م.، ۱۳۸۷.

ژئوشیمی بخش ماسه‌سنگی اهواز از سازند آسماری در میدان نفتی اهواز: کاربردهایی در تعیین جایگاه زمین‌ساختی و هوازدگی سنگ‌منشأ. مجله علوم دانشگاه شهید چمران اهواز، ۱۹، ۴۵-۴۶.

- حسینی‌برزی، م. و سعیدی، م.، ۱۳۸۹. برخاستگاه زمین‌ساختی ماسه‌سنگ‌های سازند پادها در برش سمیر کوه، ایران مرکزی: با

در نظر گرفتن تأثیر فرآیندهای دیاژنری بر ترکیب ماسه‌سنگ‌ها. فصلنامه علوم زمین، ۷۸، ۱۵۸-۱۴۷.

- حسینی‌برزی، م. و شادان، م.، ۱۳۸۸. برخاستگاه و هوازدگی سنگ‌مادر ماسه‌سنگ‌های سازند خان بر اساس پتروگرافی، آنالیز

مدال و ژئوشیمی عناصر اصلی در برش چاه روف، بلوک پشت بادام. فصلنامه زمین‌شناسی ایران، ۱۲، ۳۷-۲۷.

- جعفریان، م.ب. و صمدیان، م.ر.، ۱۳۷۵. گزارش نقشه

زمین‌شناسی چابهار با مقیاس ۱:۱۰۰۰۰۰. سازمان زمین‌شناسی و

اکتشافات معدنی کشور.

- Al-Juboury, A.I., McCann, T. and Ghazal, M.M., 2009. Provenance of Miocene sandstones innorthern Iraq: constraints from framework petrography, bulk-rock geochemistry and mineral chemistry. Russian Geology and Geophysics, 50, 517-534.

- Armstrong-Altrin, J.S. and Verma, S.P., 2005. Critical evaluation of six tectonic setting discrimination diagrams using geochemical data of Neogene sediments from known tectonic Settings. Sedimentary Geology, 177, 1-2, 115-129.

- Batumilke, M.J., Kampunzu, A.B. and Cailteux, J.H., 2006. Petrology and geochemistry of the Neoproterozoic Nguba and Kundelungu Groups, Katangan Supergroup, southeast Congo: Implications for provenance, paleo-weathering and geotectonic setting. African Earth Sciences, 44, 97-115.

- Bauluz, B., Mayayo, M. J., Fernandez-Nieto, C. and Lopez, J. M. G., 2000. Geochemistry of Percambrian Paleozoic siliciclastic rock from the Iberian Range (NE Spain): implications for source-area weathering, sorting, provenance and tectonic setting. Chemical Geology, 168, 135-150.

- Berberian, M. and King, C.P., 1981. Towards a paleogeography and Tectonic Evolution of Iran. Canadian Earth Sciences, 18, 210-265.

- Bhatia, M.R. and Crook, K.A.W., 1986. Trace element

ساحلی چابهار بر اساس اکسیدهای عناصر اصلی و دیاگرام‌های تابعی در محدوده سنگ‌مادر رسوی کوارتزی قرار می‌گیرند که حضور کوارترهای مونوکریستالین، قطعات سنگی رسوی و عدم وجود قطعات سنگی آتشفشنایی و دگرگونی در نمونه‌ها نشان از مطابقت داده‌ها با سنگ‌منشأ رسوی - کوارتزی دارد. همچنین، داده‌های ژئوشیمی و استفاده از نمودارهای تفکیکی مختلف بر پایه عناصر اصلی و فرعی، رسوی گذاری در یک محیط زمین‌ساختی وابسته به حوضه حاشیه قاره‌ای فعل^۱ را برای این نهشته‌ها تداعی می‌کند که با فرورانش زون مکران قابل اتفاق است. زیرا به دلیل تداوم فرآیند فرورانش در مکران، گسل‌های منطقه هنوز فعال بوده و زمین به بالا آمدن ادامه می‌دهد که این عمل با چین خوردگی، کوتاه‌شدگی و با پسروی خط‌ساحلی همراه است.

سپاسگزاری

از داوران محترم جهت ارائه نظرات بسیار ارزشمند و مفید که به ارتقای سطح علمی این مقاله کمک نموده‌اند، سپاسگزاریم. همچنین از مسئولین محترم مؤسسه ملی اقیانوس‌شناسی دریای عمان و اقیانوس هند - مرکز چابهار، بهویژه از آقایان مهندس محمدعلی حمزه و مهندس غلامرسول بسکله جهت فراهم آوردن امکانات آزمایشگاهی نهایت تشکر و قدردانی می‌شود.

منابع

- احراری‌رودی، م.، ۱۳۸۵. چینه نگاری سکانسی و بررسی تغییرات سطح آب دریا در رسویات (پلیو- پلیستوسن) ناحیه شرق چابهار. پایان‌نامه کارشناسی ارشد، دانشگاه فردوسی مشهد، دانشکده علوم، ۱۴۰.
- اعتمادسعید، ن. و حسینی‌برزی، م.، ۱۳۸۸. ژئوشیمی عناصر اصلی ماسه‌سنگ‌های سازند لالون در مقطع باهمو، ایران مرکزی: با نگرشی بر سنگ‌منشأ، شرایط هوازدگی قدیمه و جایگاه زمین‌ساختی. فصلنامه زمین‌شناسی ایران، ۹، ۶۵-۵۳.
- آدابی، م.ح.، ۱۳۹۰. ژئوشیمی رسوی. انتشارات آرین زمین، چاپ دوم، ۵۰۳.
- آفرین، م.، ۱۳۹۱. ژئوشیمی و کانی‌شناسی مارن‌های میوسن منطقه ساحلی چابهار، جنوب‌شرق سیستان و بلوچستان. پایان‌نامه کارشناسی ارشد، دانشگاه آزاد اسلامی واحد زاهدان، دانشکده علوم، ۱۱۲.
- آقاباتی، ع.، ۱۳۸۵. زمین‌شناسی ایران. سازمان زمین‌شناسی و اکتشافات معدنی کشور، ۵۸۶.
- بایت‌گل، آ. و حسینی‌برزی، م.، ۱۳۹۰. ژئوشیمی عناصر اصلی نهشته‌های سیلیسی آواری سازند شیرگشت، بلوک کلمرد، ایران مرکزی برای تعیین برخاستگاه زمین‌ساختی و هوازدگی سنگ‌منشأ. فصلنامه علوم زمین، ۷۹، ۷۹-۱۱۲.
- حسینی‌برزی، م.، ۱۳۸۲. سنگ‌شناسی رسوی پرتگاه‌های ساحلی چابهار (پلیو- پلیستوسن) با نگرشی بر تأثیر زمین‌ساخت

characteristics of greywackes and tectonic setting discrimination of sedimentary basins. Contributions to Mineralogy and Petrology, 92, 181-193.

- Bhatia, M.R., 1983. Plate tectonics and geochemical composition of sandstone. Geology, 91, 611-627.

- Blatt, H., 1985. Provenance studies and mudrocks. Sedimentary Petrology, 55, 69-75.

- Cardenas, A., Girty, G.H., Hanson, A.D. and Lahren, M. M., 1996. Assessing differences in composition between low metamorphic grade mudstone and high-grade schists using logratio techniques. Geology, 104, 279-293.

- Condie, K. C., Boryta, M. D., Liu, J. and Qian, X., 1992. The origin of khondalites: Geochemical evidence from the Archean to Early Proterozoic granulite belt in the North China craton. Precambrian Research, 59, 207-223.

- Condie, K. C., Dengate, J. and Cullers, R. L., 1995. Behavior of rare earth elements in paleoweathering profile on granodiorite in the front range, Colorado, USA. Geochimica et Cosmochimica Acta, 59, 279-294.

- Cox, R., Low, D.R. and Cullers, R.L., 1995. The influence of sediment recycling and basement composition on evolution of mudrock chemistry in the southwestern United States. Geochimica et Cosmochimica Acta, 59, 2919-2940.

- Cullers, R.L., 1994. The chemical signature of source rock in size fractions of Holocene stream sediment derived from metamorphic rock in the Wet Mountains region, USA. Chemical Geology, 113, 327-343.

- Cullers, R.L., 1995. The controls on the major and trace element evolution of shales, siltstone and sandstone of Ordovician to Tertiary age in the Wet Mountains region, Colorado, USA. Chemical Geology, 123, 1-4, 107-131.

- Cullers, R.L., 2000. The geochemistry of shales, siltstones and sandstones of Pennsylvanian-Permian age, Colorado, USA: Implication for provenance and metamorphic studies. Lithos, 51, 181-203.

- Cullers, R. L. and Podkrovov, V. N., 2002. The source and origin of terrigenous sedimentary rock in the MesoproterozoicUi group, southeastern Russia. Precambrian Research, 117, 157-183.

- Das, B.K., AL-Mikhlaifi, A.S. and Kaur,P., 2006. Geochemistry of Mansar Lake sediment, Jammu, India, Implication for source-area weathering, provenance, and tectonic setting. Journal of Asian Earth Sciences, 26, 649-668.

- Dickinson, W.R., Beard, L.S., Brakenridge, G.R., Evjavec, J.L., Ferguson, R.C., Inman, K.F., Knapp, R.A., Lindberg, F.A. and Ryberg, P.T., 1983. Provenance of North American Phanerozoic sandstones in relation to tectonic setting. Geological Society of America Bulletin, 94, 222-235.

- Fedo, C.M., Nesbitt, H.W. and Young, G.M., 1995. Unraveling the effects of potassium metasomatism in sedimentary rocks and paleosols, with implications for paleoweathering conditions and provenance. Geology, 23, 921-924.

- Folk, R.L., 1980. Petrology of Sedimentary Rocks. Hemphill Publishing, Austin, TX, 184.

- Garcia, D., Ravenne, C., Marechal, B. and Moutte, J., 2004. Geochemical variability induced by entrainment sorting: quantified signals for provenance analysis. Sedimentary Geology, 171, 113-128.

- Gateneh, W., 2000. Geochemistry provenance and depositional tectonic setting of the Adigrat Sandstone northern Ethiopia. African Earth Sciences, 35, 185-198.

- Gu, X.X., Liu, J.M., Zheng, M.H., Tang, J.X. and Qi, L., 2002. Provenance and tectonic setting of the Proterozoic turbidites in Hunan, south China: Geochemical evidence. Sedimentary Research, 72, 393-407.

- Harnois, L., 1988. The CIW index: a new chemical index of weathering. Sedimentary Geology, 55, 319-322.

- Herron, M.M., 1988. Geochemical classification of terrigenous sands and shales from core or log data. Sedimentary Petrology, 58, 820-829.

- Hessler, A.M. and Lowe, D.M., 2006. Weathering and sediment generation in the Archean: An integrated study of the evolution of siliciclastic sedimentary rocks of the 3.2 Ga Moodies Group, Barberton Greenstone Belt, South Africa. Precambrian Research, 151, 185-210.

- Jacob, K.H and Quittmeyer, R.C., 1979. The Makran region of Pakistan and Iran trench-arc system with active plate subduction. Geodynamics of Pakistan, 305-318.

- Jafarzadeh, M. and Hosseini-Barzi, M., 2008. Petrography and geochemistry of Ahwaz Sandstone Member of Asmari Formation, Zagros, Iran, implications on provenance and tectonic setting. Revista Mexicana de Ciencias Geológicas, 25, 247-260.

- Kroonenberg, S.B., 1994. Effects of provenance, sorting and weathering on the geochemistry of fluvial sands from different tectonic and climatic environments. Pro-

ceedings of the 29th International Geological Congress, Part A, 69–81.

- Lee, J.I., Park, B., Jea, Y., Yoon, H.I., Yoo, K.C. and Kim, Y., 2005. Geochemical characteristics and the Provenance of sediments in the Bransfield Strait, West Antarctica. *Marine Geology*, 219, 81–98.

- Lepichon, X., 1968. Sea-floor spreading and continental drift. *Geology Research*, 73, 12, 3661–3697.

- McBride, Earle F., 1985. Diagenetic processes that affect provenance determination in sandstone. In Zuffa G. G. (ed.), *Provenance in Arenites*. Reidel Publishing Company, 407, 95–113.

- McLennan, S.M., Hemming, S., McDaniel, D.K. and Hanson, G.N., 1993. Geochemical approaches to sedimentation, provenance, and tectonics. Processes Controlling the Composition of clastic sediments. *GSA Special Paper*, 284, Boulder, 21–40.

- McLennan, S.M., 1993. Weathering and global denudation. *Geology*, 101, 295–303.

- McLennan, S.M., 2001. Relationships between the trace element composition of sedimentary rocks and upper continental crust. *Geochemistry Geophysics Geosystems*, 2, 4, 1021, doi:10.1029/2000GC000109.

- Muller, G. and Gatsner, M., 1971. Chemical analysis. *Neues Jahrbuch für Mineralogie Monatshefte*, 10, 466–469.

- Nesbitt, H.W., Markovics, G. and Price, R.C., 1980. Chemical processes affecting alkalis and alkaline earths during continental weathering. *Geochimica et Cosmochimica Acta*, 44, 1659–1666.

- Nesbitt, H.W. and Young, G.M., 1982. Early Proterozoic climates and plate motions inferred from major element chemistry of lutites. *Nature*, 299, 715–717.

- Nesbitt, H.W. and Young, G.M., 1984. Prediction of some weathering trends of plutonic and volcanic rock based upon thermodynamic and kinetic consideration. *Geochimica et Cosmochimica Acta*, 48, 1523–1534.

- Nesbitt, H.W. and Young, G.M., 1989. Formation and diagenesis of weathering profile. *Geology*, 97, 129–147.

- Osae, S., Asiedu, D.K., Yakubo, B., Koeberl, C. and Dampare, S.B., 2006. Provenance and tectonic setting of Late Proterozoic Buem sandstones of southeastern Ghana: Evidence from geochemistry and detrital modes. *African Earth Sciences*, 44, 85–96.

- Ohta, T. and Sakai, T., 2004. Deep-marine sedimenta-

tion and sequence evolution of the Toyora Group in the Nagato Basin, Inner Zone of SW Japan. *Geological Society of Thailand*, 1, 45–60.

- Pettijohn, F.J., Potter, P.E. and Siever, R., 1987. *Sand and Sandstone*. (2nd ed.) Springer-Verlag, New York, 553.

- Pettijohn, F.J., 1975. *Sedimentary Rocks* 3rd edition. Harper and Row, New York, 628.

- Potter, P.E., 1978. Petrology and chemistry of modern big river sands. *Geology*, 86, 423–449.

- Rashid, S.A., 2002. Geochemical characteristics of Mesoproterozoic clastic Sedimentary Rocks from the Chakrata Formation, Lesser Himalaya. *Asian Earth Sciences*, 21, 283–293.

- Rollinson, H.R., 1993. *Using Geochemical Data: Evaluation, Presentation, Interpretation*. Longman, 352.

- Roser, B.P., Cooper, R.A., Nathan, S. and Tulloch, A.J., 1996. Reconnaissance sandstone geochemistry, provenance and tectonic setting of the lower Paleozoic terranes of the West Coast and Nelson, New Zealand. *New Zealand Geology and Geophysics*, 39, 1–16.

- Roser, B. P. and Korsch, R.J., 1986. Determination of tectonic setting of sandstone-mudstone suites using SiO₂ content and K₂O/Na₂O ratio. *Geology*, 94, 635–650.

- Roser, B.P. and Korsch, R.J., 1988. Provenance signatures of sandstone-mudstone suites determined using discriminant function analysis of major-element data. *Chemical Geology*, 67, 119–139.

- Schandl, E.S. and Gorton, M.P., 2002. Application of high field strength elements to discriminate tectonic setting in VMS environments. *Economic Geology*, 97, 629–642.

- Suttner, L.J. and Dutta, P.K., 1986. Alluvial sandstone composition and paleoclimate, Framework mineralogy. *Sedimentary Petrology*, 56, 329–345.

- Taylor, S.R. and McLennan, S.M., 1985. *The Continental Crust: Its Composition and Evolution*. Blackwell, Oxford, 312.

- Von Eynatten, H., 2003. Petrography and chemistry of sandstone from the Swiss Molasse Basin: An archive of the Oligocene to Miocene evolution of the Central Alps. *Sedimentology*, 50, 703–724.

- Von Eynatten, H., 2004. Statistical modeling of compositional trends in sediments. *Sedimentary Geology*, 172, 251–268.

- Whitmore, C.P. Crook, K.A.W. and Johnson, D.P.,

2004. Grain size control of mineralogy and geochemistry in modern river sediment, New Guinea Collision, Papua New Guinea. *Sedimentary Geology*, 171, 129–157.

- Zimmermann, U. and Bahlburg, H., 2003. Provenance

analysis and tectonic setting of the Ordovician clastic deposits in the southern Puna Basin, NW Argentina. *Sedimentology*, 50, 1079–1104.

Archive of SID